

11 - 2 その他の地域の地殻変動 Crustal Movements in Other Regions

国土地理院
Geospatial Information Authority of Japan

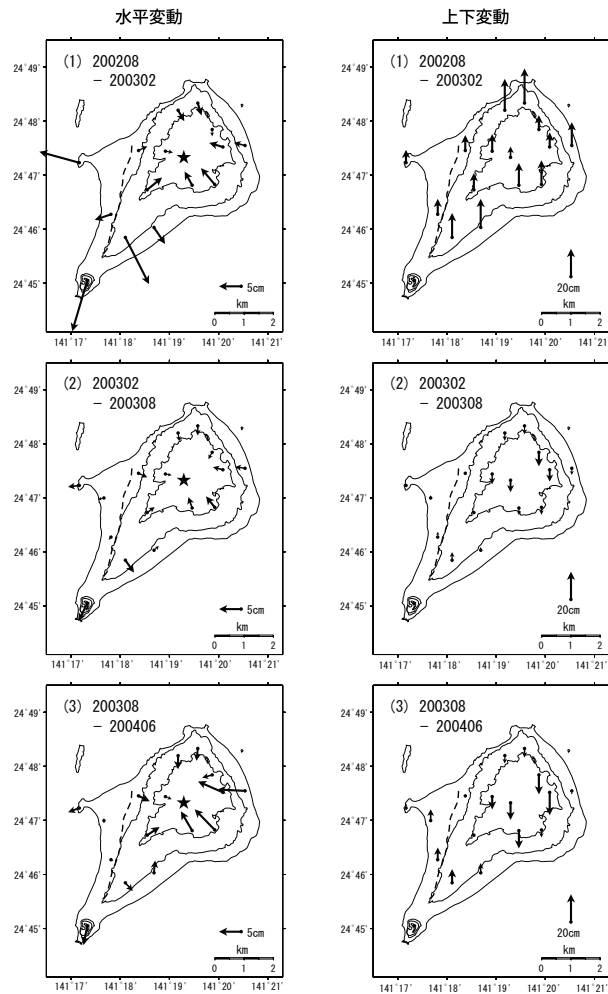
[硫黄島 キャンペーン観測結果]

第1～5図は、東京都小笠原村硫黄島（いおうとう）のGNSS繰り返し観測結果である。15～20点のGNSS点における水平、上下変動の空間分布がわかる。2009年8月以前の観測結果については、これまでも会報に掲載してきた（参考文献）。最近の観測結果(12)～(15)では、島内の地殻変動は、2009年8月から2010年6月までは収縮ないし停滞していたが、それ以後、硫黄ヶ丘を中心とする収縮変動と、阿蘇台断層を中心とする膨張傾向が見られる。

参 考 文 献

- 1) 国土地理院, 2003, その他の地域の地殻変動, 地震予知連絡会会報, 70, 170-175.
- 2) 国土地理院, 2005, その他の地域の地殻変動, 地震予知連絡会会報, 73, 616-620.
- 3) 国土地理院, 2007, その他の地域の地殻変動, 地震予知連絡会会報, 77, 460-470.
- 6) 国土地理院, 2007, その他の地域の地殻変動, 地震予知連絡会会報, 78, 575-581.
- 7) 国土地理院, 2008, その他の地域の地殻変動, 地震予知連絡会会報, 79, 617-622.
- 8) 国土地理院, 2008, その他の地域の地殻変動, 地震予知連絡会会報, 80, 519-523.
- 9) 国土地理院, 2009, その他の地域の地殻変動, 地震予知連絡会会報, 81, 574-578.
- 10) 国土地理院, 2009, その他の地域の地殻変動, 地震予知連絡会会報, 82, 432-437.
- 11) 国土地理院, 2010, その他の地域の地殻変動, 地震予知連絡会会報, 83, 540-545.
- 12) 国土地理院, 2010, その他の地域の地殻変動, 地震予知連絡会会報, 84, 477-482.

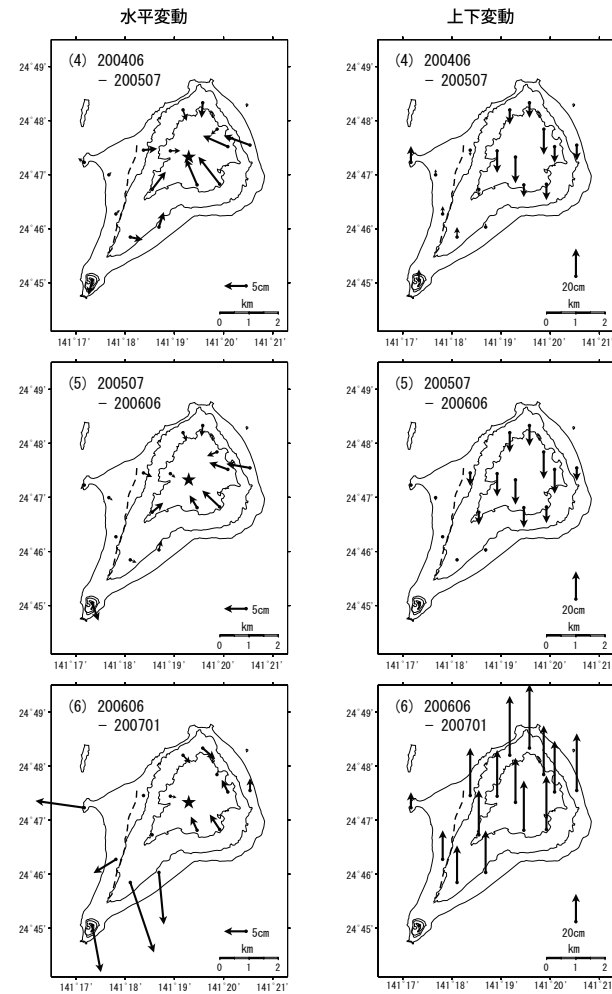
G N S S 繰り返し観測による硫黄島の地殻変動 (1)



- ・水平変動は★(硫黄ヶ丘測点:元山)を固定して算出し,上下変動は各観測の楕円体高より算出した。
- ・破線は現地調査(2007年1月)および写真判読を元にした「阿蘇台断層」。
- ・(1)~(3)はF2解(最終解),(4)~(15)はF3(最終解)を使用。
- ・比較期間:(1),(2),(6)~(14)【約半年】
(3)~(5),(15)【約1年】

第1図 GNSS繰り返し観測による硫黄島の地殻変動(1)
Fig. 1 Crustal deformation of Iwo-to (Iwo-Jima) from GNSS campaign (1/5).

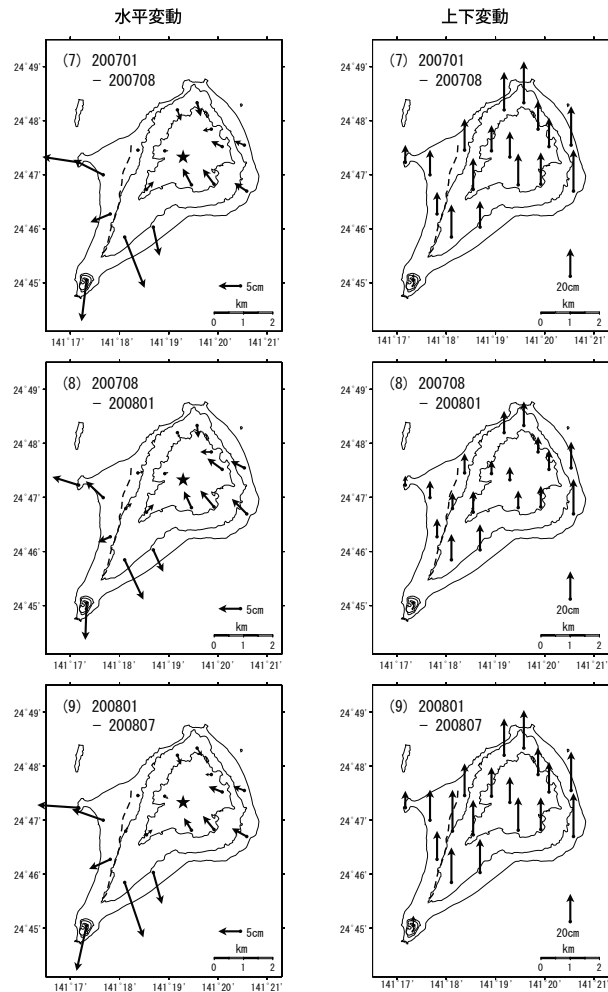
G N S S 繰り返し観測による硫黄島の地殻変動 (2)



- ・水平変動は★(硫黄ヶ丘測点:元山)を固定して算出し,上下変動は各観測の楕円体高より算出した。
- ・破線は現地調査(2007年1月)および写真判読を元にした「阿蘇台断層」。
- ・(1)~(3)はF2解(最終解),(4)~(15)はF3(最終解)を使用。
- ・比較期間:(1),(2),(6)~(14)【約半年】
(3)~(5),(15)【約1年】

第2図 GNSS繰り返し観測による硫黄島の地殻変動(2)
Fig. 2 Crustal deformation of Iwo-to (Iwo-Jima) from GNSS campaign (2/5).

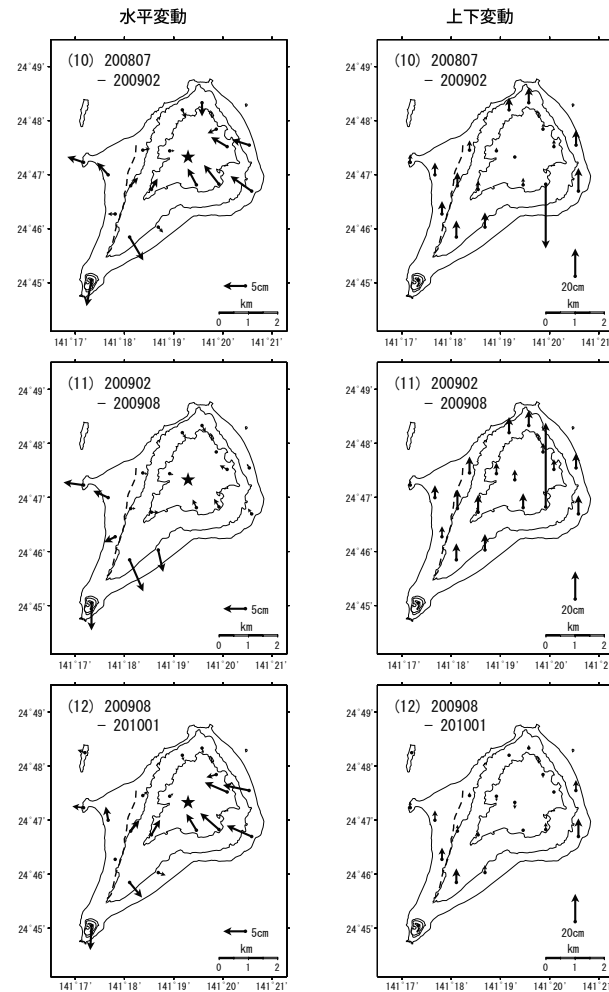
GNSS繰り返し観測による硫黄島の地殻変動（3）



- ・水平変動は★（硫黄ヶ丘測点：元山）を固定して算出し、上下変動は各観測の楕円体高より算出した。
- ・破線は現地調査（2007年1月）および写真判読を元にした「阿蘇台断層」。
- ・(1)～(3)はF2解（最終解）、(4)～(15)はF3（最終解）を使用。
- ・比較期間：(1)、(2)、(6)～(14)【約半年】
(3)～(5)、(15)【約1年】

第3図 GNSS繰り返し観測による硫黄島の地殻変動（3）
Fig. 3 Crustal deformation of Iwo-to (Iwo-Jima) from GNSS campaign (3/5).

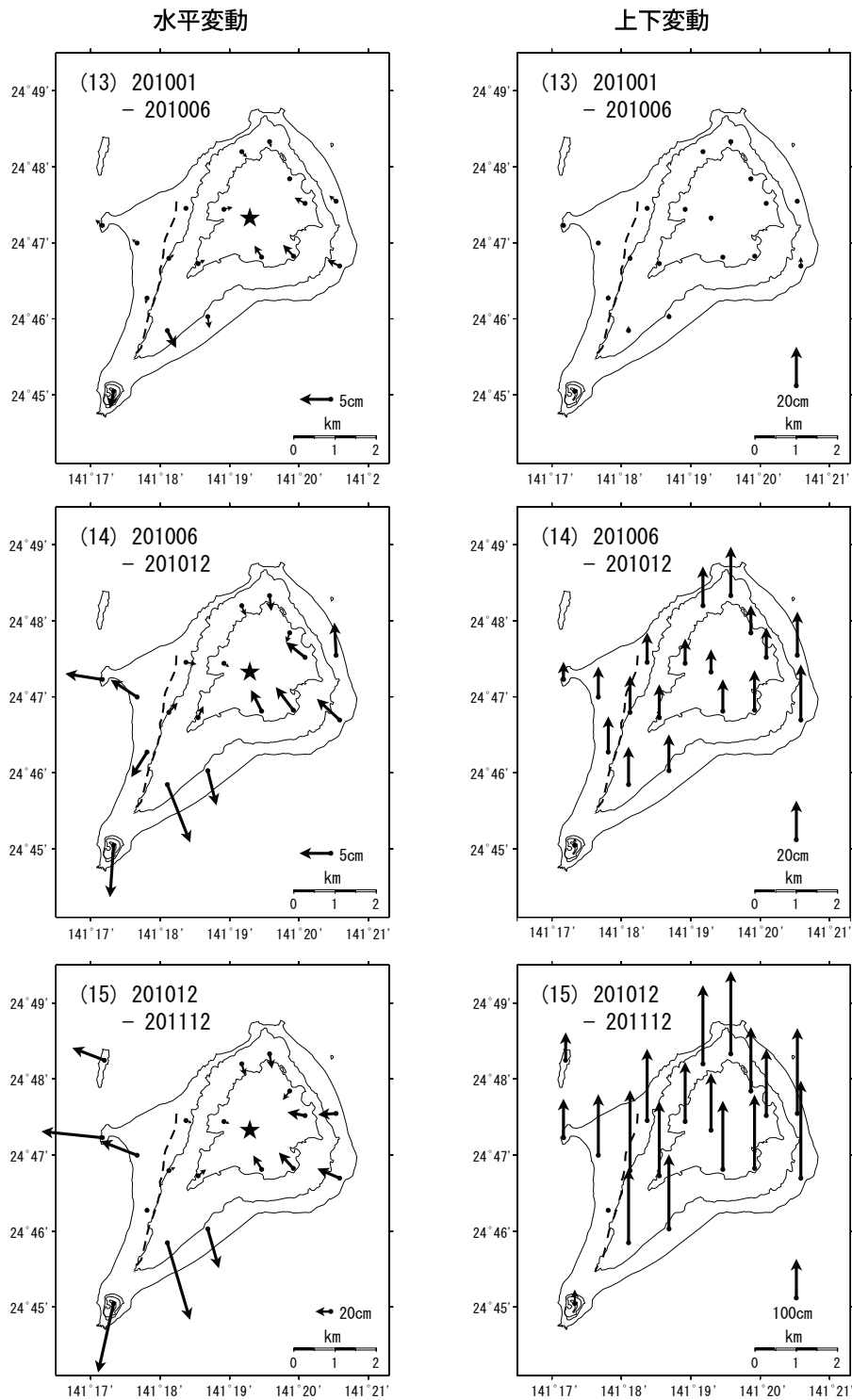
GNSS繰り返し観測による硫黄島の地殻変動（4）



- ・水平変動は★（硫黄ヶ丘測点：元山）を固定して算出し、上下変動は各観測の楕円体高より算出した。
- ・破線は現地調査（2007年1月）および写真判読を元にした「阿蘇台断層」。
- ・(1)～(3)はF2解（最終解）、(4)～(15)はF3（最終解）を使用。
- ・比較期間：(1)、(2)、(6)～(14)【約半年】
(3)～(5)、(15)【約1年】

第4図 GNSS繰り返し観測による硫黄島の地殻変動（4）
Fig. 4 Crustal deformation of Iwo-to (Iwo-Jima) from GNSS campaign (4/5).

GNSS繰り返し観測による硫黄島の地殻変動（5）



- ・ 水平変動は★（硫黄ヶ丘測点：元山）を固定して算出し、上下変動は各観測の楕円体高より算出した。
- ・ 破線は現地調査（2007年1月）および写真判読を元にした「阿蘇台断層」。
- ・ (1)～(3)はF2解（最終解），(4)～(15)はF3（最終解）を使用。
- ・ 比較期間：(1), (2), (6)～(14)【約半年】
 (3)～(5), (15)【約1年】

第5図 GNSS繰り返し観測による硫黄島の地殻変動（5）
 Fig. 5 Crustal deformation of Iwo-to (Iwo-Jima) from GNSS campaign (5/5).